

В. П. АЛЕКСАНДРОВ, **В. Г. ГОЛОВACHEB**, **А. И. ОКУНЕВ**,
Б. И. ПЕТРОВ, **В. Г. ФИЛИМОШИН**, **В. М. ТУРАПИН**

К ВОПРОСУ О РАСЧЕТЕ НЕКОТОРЫХ ПАРАМЕТРОВ ПРОЦЕССА ЭЛЕКТРОХИМИЧЕСКОЙ РАЗМЕРНОЙ ОБРАБОТКИ

Эффективность метода электрохимической размерной обработки значительно возрастает при правильном выборе параметров и режимов процесса.

В настоящей работе на примере обработки плоских поверхностей приводится расчет некоторых параметров рассматриваемого процесса.

ОСНОВНЫЕ УРАВНЕНИЯ

Основной закон электрохимического растворения описывается уравнением:

$$dv = C_p I dt, \quad (1)$$

где v — объем растворенного металла;

I — сила тока;

C_p — условный коэффициент электрохимического растворения.

Коэффициент C_p определяется из выражения:

$$C_p = K \cdot C_0, \quad (2)$$

где C_0 — электрохимический эквивалент обрабатываемого материала;

K — коэффициент эффективности процесса, учитывающий частичное рассеивание тока в местах крепления детали и внутри самой установки. Величина этого коэффициента зависит от конструкции установки, типа обрабатываемых деталей и определяется опытным путем.

По литературным данным чистые металлы имеют значения C_0 (в мм на *ампер-минуту*): алюминий — 2,1; кобальт — 2,05; железо — 2,2; молибден — 1,95; титан — 2,18; хром — 2,24; медь — 2,2; никель — 2,05; вольфрам — 1,98.

Для данной величины C_0 можно в первом приближении рассчитывать пропорционально химическому составу. Однако этот вопрос требует более внимательного изучения.

Преобразуем уравнение (1) к виду, более удобному для дальнейших исследований. Учитывая, что

$$\frac{dv}{F} = dx,$$

где F — площадь электрода, получим

$$dx = C_k \frac{I}{F} dt, \quad (3)$$

или

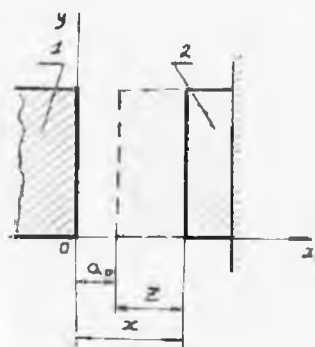
$$\frac{dx}{dt} = v_{\text{э.х.р.}} = C_k \frac{I}{F}, \quad (4)$$

где $v_{\text{э.х.р.}}$ — скорость электрохимического растворения.

Таким образом, скорость электрохимического растворения пропорциональна плотности тока.

ОБРАБОТКА НА УСТАНОВКЕ С НЕПОДВИЖНЫМ ЭЛЕКТРОДОМ-ИНСТРУМЕНТОМ (КАТОДОМ)

Схема обработки и соответствующие обозначения приведены на фиг. 1. Пунктиром показано положение детали 2 при $t=0$, сплошными линиями — в момент времени t .



Фиг. 1.

Здесь x , y — неподвижная система координат с началом на электроде-инструменте;

a_0 — начальный зазор;

a — текущий зазор.

В рассматриваемом случае зазор a равен координате x , тогда

$$R = \frac{x}{z \cdot F},$$

где z — удельная проводимость электролита.

Ток в рабочей цепи определится из выражения

$$I = \frac{E'}{R + R_{\text{эл}}}, \quad (5)$$

где $E' = E - e$; e — Э. Д. С. поляризации.

Подставляя в выражение (5) значение R , получим:

$$I = \frac{E' \cdot zF}{x + R_{\text{эл}} \cdot zF}. \quad (6)$$

Уравнение (3) после подстановки в него значения I из формулы (6) примет вид

$$dx = \frac{C_k E' z}{x + R_{\text{вн}} \cdot z F} \cdot dt.$$

Интегрируя данное выражение от 0 до t и от x_0 до x , получим

$$x = \sqrt{(B_1 + x_0)^2 + 2A_1 t} - B_1, \quad (7)$$

где введенные для краткости константы A_1 и B_1 имеют следующие значения:

$$A_1 = C_k E^1 \cdot z \left[\frac{MM^2}{MHH} \right];$$

$$B_1 = R_{\text{вн}} \cdot z F [MM].$$

Скорость электрохимического растворения

$$v_{\text{exp}} = \frac{dx}{dt} = \frac{A_1}{\sqrt{(B_1 + x_0)^2 + 2A_1 t}}. \quad (8)$$

Время снятия припуска $z = x - x_0$:

$$t = \frac{1}{2A_1} (x^2 - x_0^2) + \frac{B_1}{A_1} (x - x_0). \quad (9)$$

Выражения (7) и (9) даже для такого простейшего случая получаются достаточно сложными. При рассмотрении следующих задач это может привести к значительным математическим трудностям. Учитывая сказанное, получим более простое выражение, полагая, что напряжение на электродах U_0 постоянно и не зависит от величины зазора. Тогда

$$I = \frac{U_0 z F}{x}$$

$$\text{и} \quad dx = C_k U_0 z \frac{1}{x} \cdot dt. \quad (10)$$

Интегрируя уравнение (10) от 0 до t и от x_0 до x , получим

$$x = \sqrt{x_0^2 + 2At}; \quad (11)$$

$$\frac{dx}{dt} = v_{\text{exp}} = \frac{A}{\sqrt{x_0^2 + 2At}}; \quad (12)$$

$$t = \frac{1}{2A} (x^2 - x_0^2), \quad (13)$$

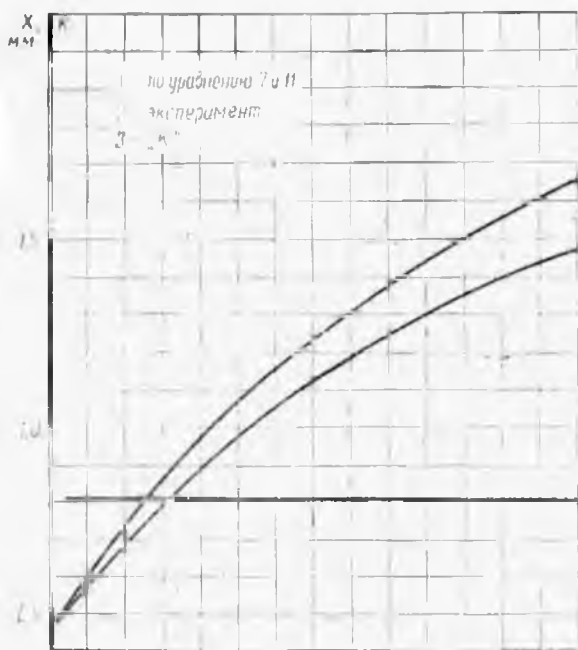
где $A = C_k U_0 z$ назовем характеристикой режима.

Для оценки величины погрешности, внесенной принятым допущением, сделаем расчет одного из режимов обработки, приняв $K = 1$.

Исходные данные: $E = 15$ в; $U_0 = 11,8$; $R_{\text{вн}} = 1,59 \cdot 10^{-3}$ ом; $C_0 = 2,05 \frac{MM}{\text{г} \cdot \text{мин}}$; $z = 0,01085 \frac{1}{\text{ом} \cdot \text{мм}}$; $x_0 = 0,47$ мм; $e = 1,4$ в. Результаты расчета приведены в таблице 1.

По результатам таблицы 1 построен график, приведенный на фиг. 2 (кривые 1, 2). Как видно, результаты расчета величины x по формулам (7) и (11) практически совпадают.

Из формулы (13), если ее написать дважды для 100% эффек-



Фиг. 2.

Таблица 1

Параметры процесса	t [мин]	0	1	2	3	4	4,5
x [мм] по формуле (11) $k = 1$		0,47	0,86	1,135	1,35	1,53	1,615
x [мм] по формуле (7) $k = 1$		0,47	0,87	1,15	1,37	1,55	1,64
x [мм] — эксперимент		0,47	0,8	1,06	1,26	1,41	1,46

тивности процесса, т. е. при $K = 1$ и $K \cdot 100\%$ эффективности, и принять, что последний случай совпадает с контрольным экспериментом для плоских образцов, можно получить выражение для коэффициента K

$$t_{100} = \frac{1}{2C_0 U_0^2} (x^2 - x_0^2), \quad (14)$$

$$t_k = t_0 = \frac{1}{2kC_0 \cdot U_0^2} (x^2 - x_0^2). \quad (14a)$$

Разделив первое выражение на второе при равных x и x_0 , получим

$$k = \frac{t_{100}}{t_2}. \quad (15)$$

Таким образом, если известны из экспериментов x_0 , x и t_2 , то, подсчитав по выражению (14) t_{100} , можно определить коэффициент K . Расчет коэффициента K по формуле (15) показывает, что его значения постоянны и не зависят от величины зазора. В нашем случае $K = 0,8$. На фиг. 2 значения коэффициента K отображены прямой 3. Легко видеть, что учет значения коэффициента K при расчете по формуле (11) или (7) дает совпадение расчетных данных с экспериментальными.

Рассмотрение самого простого случая обработки с неподвижными электродами следует считать как апробацию принятого метода. Сравнение полученных результатов с экспериментом показывает, что основные уравнения в приближенном решении дают достаточно хорошие результаты.

ОБРАБОТКА НА УСТАНОВКЕ С ПОДВИЖНЫМ ЭЛЕКТРОДОМ-ИНСТРУМЕНТОМ.

Схема обработки и соответствующие обозначения приведены на фиг. 3. Пунктиром показано положение электрода-инструмента 1 и детали 2 при $t=0$, сплошными линиями — в момент времени t .

Берем основное уравнение в виде (4).

Для определения плотности тока используем приближенное уравнение (10), где a — зазор; $a = x - x_2$.

Координату электрода считаем заданной функцией времени $x_2 = \xi(t)$.

Подставляя в основное уравнение, имеем:

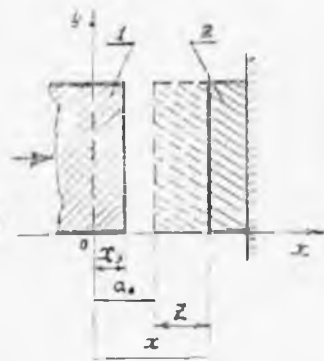
$$\frac{dx}{dt} = \frac{A}{x - \xi(t)}, \quad (16)$$

или $x^* [x - \xi(t)] = A$, т. е. обыкновенное дифференциальное уравнение, нелинейное, с переменными коэффициентами, являющееся частным случаем уравнения Абеля 2-го рода.

Подстановкой $a = x - \xi$ это уравнение приводится к виду

$$a(a' + \xi') = A. \quad (17)$$

В общем виде уравнения (16) и (17) не интегрируются. Общий интеграл можно найти только при некоторых частных



видах функции $\xi(t)$. Например, для $\xi(t) = \xi_0 = \text{const}$, т. е. для случая с неподвижными электродами сразу получается решение $x = \xi_0 + \sqrt{(x_0 - \xi_0)^2 + 2At}$, которое при $\xi_0 = 0$ переходит в уже полученное уравнение (11).

Рассмотрим случай движения электрода с постоянной скоростью. Принимаем $\xi(t) = V \cdot t$, где $V = \text{const}$, т. к. в уравнении (16) даже при линейной функции ξ переменные не разделяются, то основное уравнение берем в виде (17), т. е. физически переходим от уравнения с переменной координатой x к переменной—зазору a . Итак $a(a' + \xi') = A$; $\xi' = V = \text{const}$;

$$\frac{da}{dt} = \frac{A}{a} - V, \quad (18)$$

т. е. скорость изменения зазора равна скорости электрохимического растворения минус скорость движения электрода.

При интегрировании уравнения (18) методически удобнее рассмотреть отдельно три случая.

Первый случай. $\frac{da}{dt} = 0$, т. е. зазор постоянен, $V = V_{\text{кр}}$. Обозначая установившийся зазор в этом случае через a_y , получим

$$\frac{A}{a_y} = V; \text{ или } a_y = \frac{A}{V}, \quad (19)$$

т. к. $x = x_0$, а и

$$\frac{dx}{dt} = V + \frac{da}{dt}, \quad (20)$$

то в данном случае $\frac{dx}{dt} = V$ и

$$x = x_0 + Vt. \quad (21)$$

Время снятия приспуска $z = x - x_0$; $t = \frac{z}{V}$.

Второй случай. Начальный зазор больше установленного, т. е. $a_0 > a_y$; в этом случае $\frac{A}{a_0} < V$ и $\frac{da}{dt} < 0$.

Из уравнения (18) имеем $\frac{da}{dt} = \frac{A - aV}{a}$ или, учитывая, что $\frac{A}{V} = a_y$, получим

$$\frac{ada}{a - a_y} = V \cdot dt. \quad (22)$$

Интегрируя от a_0 до a и от 0 до t , имеем

$$(a_0 - a) + a_y \cdot \ln \frac{a_0 - a_y}{a - a_y} = Vt. \quad (23)$$

Вводя безразмерные величины зазоров $\bar{a} = \frac{a}{a_y}$ и $\bar{a}_0 = \frac{a_0}{a_y}$, а так-

же безразмерное время $\bar{t} = \frac{t}{\tau}$, где $\tau = \frac{a_y}{V}$, получим окончательно

$$(\bar{a}_0 - \bar{a}) + \ln \frac{\bar{a}_0 - 1}{\bar{a} - 1} = \bar{t}. \quad (24)$$

Отсюда видно, что зазор a асимптотически приближается с течением времени к a_y . Свяжем зазоры со снимаемым припуском $x \rightarrow x_0$. Из кинематики видно, что $x_0 = a_0$, а $x = Vt + a$, т. е.

$$z = Vt - (a_0 - a). \quad (25)$$

Подставляя $a_0 - a$ из (23) и приводя к безразмерному виду, получим

$$\bar{z} = \ln \frac{\bar{a}_0 - 1}{\bar{a} - 1}. \quad (26)$$

Отсюда связываем текущий зазор со снимаемым припуском

$$\bar{a} - 1 = \frac{\bar{a}_0 - 1}{e_{\text{exp} \bar{z}}}. \quad (27)$$

Из выражения (25) найдем время съема припуска

$$\bar{t} = \bar{z} + (\bar{a}_0 - \bar{a}), \quad (28)$$

или, если нужно найти координату x ,

$$x = \bar{a}_0 + \bar{t}. \quad (29)$$

Таким образом, последовательность расчета времени съема припуска z такова:

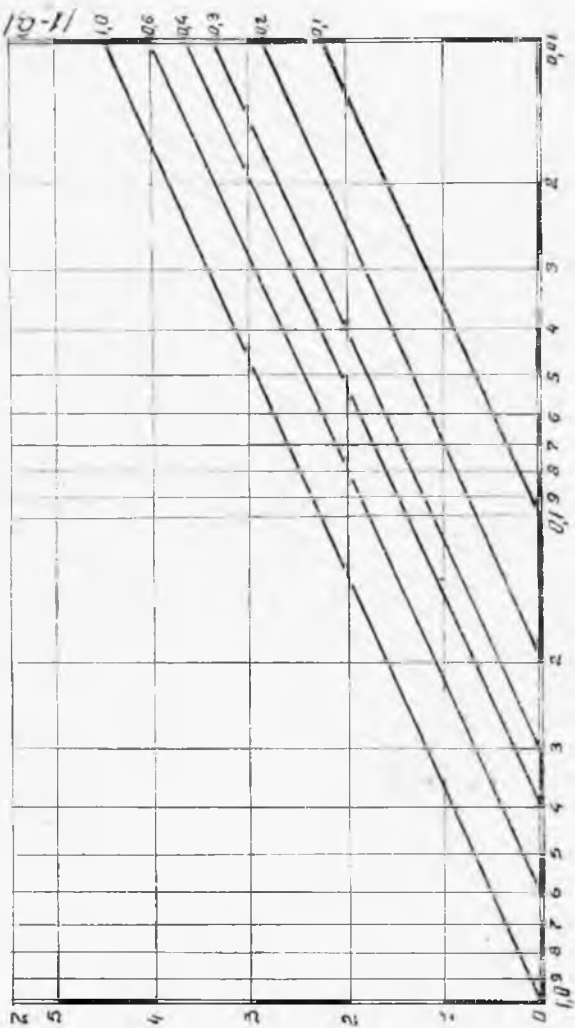
1. находим постоянные A , a_y , τ , \bar{a}_0 , \bar{z} ;
2. находим безразмерный зазор в конце обработки \bar{a} из выражения (27);
3. находим время съема припуска из выражения (28).

Для вычисления \bar{a} можно воспользоваться номограммой, приведенной на фиг. 4. Номограмма построена в полулогарифмических координатах. По оси абсцисс отложена величина \bar{z} , по оси ординат — модуль величины $(1 - \bar{a}_0)$. Параметром служит модуль $(1 - \bar{a}_0)$. Точки при $\bar{z} = 0$ соответствуют начальному относительному зазору $(1 - \bar{a}) = (1 - \bar{a}_0)$. Точки при $(1 - \bar{a}) = 0,1$ вычисляются по выражению $\bar{z} = 2,3 \lg \frac{(1 - \bar{a}_0)}{0,1}$.

Третий случай. Начальный зазор меньше установившегося, т. е. $a_0 < a_y$, $\frac{A}{a} > 0$, $\frac{da}{dt} > 0$. Разделяя в уравнении (18) переменные и интегрируя от 0 до t и от a_0 до a , имеем:

$$a_y \cdot \ln \frac{a_y - a_0}{a_y - a} - (a - a_0) = Vt. \quad (30)$$

Переходя к безразмерным величинам, получим:



Фиг. 1.

$$\ln \frac{1 - \bar{a}_0}{1 - \bar{a}} - (\bar{a} - \bar{a}_0) = \bar{t}, \quad (31)$$

т. е., как и во втором случае, зазор, увеличиваясь асимптотически, приближается к a_y . Связывая зазоры с припуском, имеем

$$z = Vt + (a - a_0). \quad (32)$$

Подставляя $a - a_0 = a_y \ln \frac{a_y - a_0}{a_y - a}$ и приводя к безразмерному виду, имеем

$$\bar{z} = \ln \frac{1 - \bar{a}_0}{1 - \bar{a}}. \quad (33)$$

Выражаем текущий зазор:

$$1 - \bar{a} = \frac{1 - \bar{a}_0}{\exp \bar{z}}. \quad (34)$$

Из выражения (32) находим $\bar{t} = \bar{z} - (\bar{a} - \bar{a}_0)$.

Последовательность расчета времени снятия припуска аналогична вышеприведенной.

Полученные результаты исследований могут быть использованы при разработке инженерных методов расчета основных параметров процесса электрохимической размерной обработки.